

III-219

## 突出条件下の埋設管に作用する土圧

東京ガス(株)技術研究所 正員 島村一訓 正員 西尾宣明  
 // 正員 高木宣雄 正員 兵藤元宣

## 1. はじめに

周辺地盤の沈下などにより埋設管が周辺地盤に対して突出した状態になると、埋設管には土被り圧以上の土圧が作用する。この土圧は Marston・Spangler の突出条件土圧算定式で計算されることが多いが、彼らの理論について、原理上、使用上の問題点があることは多くの研究者により指摘されている。また、突出条件での土圧に限れば、新たな算定式もこれまでにいくつか提案されている。しかしながら、それらも Marston・Spangler 理論に代わる新たな土圧算定式の位置を占めるまでには至っていないのが現状であろう。その理由の一つは実規模での実験による十分な裏付けが示されていないことに求められるであろう。そこで、今回、埋設管が周辺地盤に対して突出する状態の時に管に作用する土圧を実規模の実験により測定し、各土圧算定式による土圧と比較したので、その結果を報告する。

## 2. 実験の概要

図 1 に実験装置を示す。鋼製の実験槽の床面に穴を開け、下側の基礎部分から支柱を立てた。そして、支柱の間に H 鋼を渡し、H 鋼の上にかぶせるようにして供試管を設置した。供試管は 3 分割し、それぞれの管と H 鋼との間にロードセルを入れて、管に作用する土圧を測定した。供試管の口径は 200 mm, 400 mm, 600 mm の 3 種類で、プラスチックライニングされた鋼管を用いた。これらの管の外径、内径を表 1 に示す。

埋め戻しには山砂を用い、30 cmごとに均

等に転圧した。土被りは 1.2 mとした。この山砂の物性試験結果を表 2 に示す。湿潤単位体積重量は 15.6~16.2 KN/m<sup>3</sup>、含水比は 11~13% であった。

埋め戻し終了

表 1. 管の外径及び内径

呼び径(mm)	200	400	600
外 径(mm)	216.3	406.4	609.6
内 径(mm)	204.7	390.6	590.6

表 2. 埋め戻し土の土質特性

砂 (%)	シルト (%)	粘 土 (%)	内部摩擦角 (度)
94.0	6.0	0.0	36°

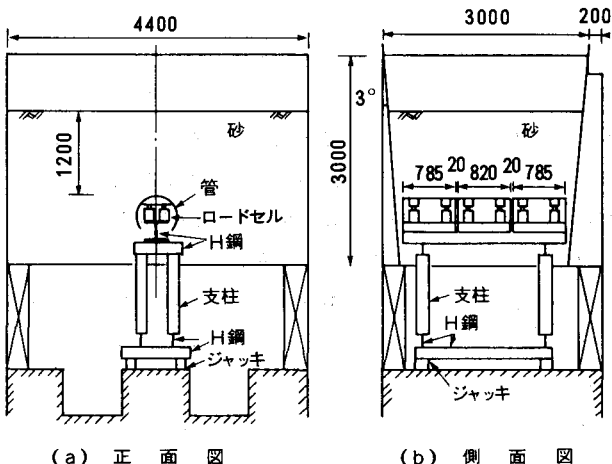


図 1. 実験装置

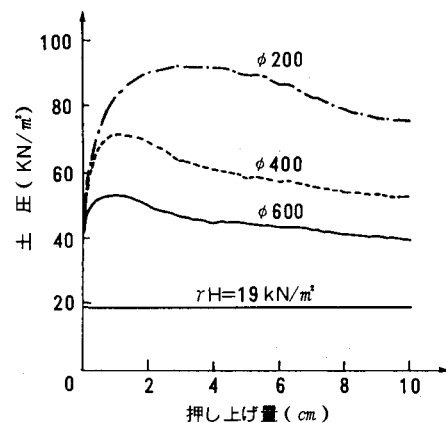


図 2. 土圧と押し上げ量の関係

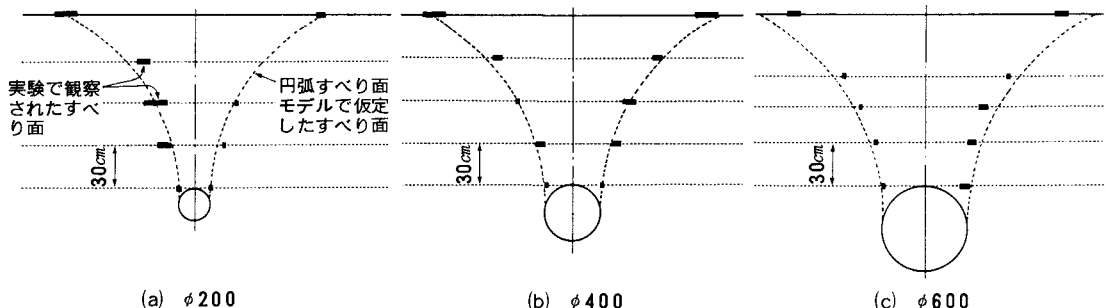


図3 実験で観察されたすべり面と円弧すべり面モデルで仮定したすべり面

### 3. 実験結果及び考察

図4 実験で測定された土圧と各土圧  
算定式による土圧の比較

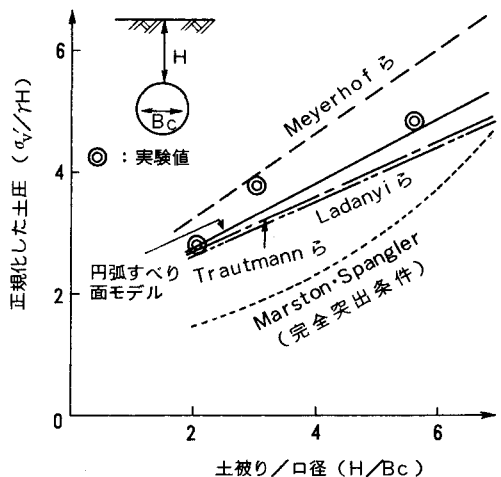


図4 実験で測定された土圧と各土圧  
算定式による土圧の比較

参考文献 1) 島村ら, 土木学会論文報告集投稿中, 2) Spangler, Soil Engineering, International Textbook Co., Scranton, Pennsylvania, 1963年, 3) Meyerhof · Adams, Canadian Geotechnical J., Vol.5, No. 4, 1968年, 4) Ladanyi · Hoyaux, Canadian Geotechnical J., Vol.6, No.1, 1969年, 5) Trautmann ら, J. of Geotechnical Engineering, ASCE, Vol. 111, No. 9, 1985年  
6) 加室ら, 東京ガス総研報告, No.17, 1972年